



Raport

z badań poziomu natężenia pola elektrycznego
w otoczeniu stacji bazowej:

NYS7502

na podstawie sprawozdania OS/0238/23 udostępnionego przez EKO-Connect Sp. z o. o.

Laboratorium prowadzące badania

EKO-Connect Sp. z o. o.
Miodowa 14A
60-591 Poznań
790 200 181

Zleceniodawca badań

P4 Sp. z o.o.

02-677 Warszawa
790 500 500
kontakt@play.pl

Nr akredytacji: AB1810

Data wydania sprawozdania: 17.07.2023

Raport zawiera wybrane elementy sprawozdania i służy wyłącznie obrazowemu przedstawieniu informacji o danej instalacji. Raport nie może być wykorzystywany w postępowaniach administracyjnych.

Informacje ogólne

Zgodność z metodyką RMK: Tak

Ograniczenia: Na podstawie art. 122a ust. 1b ustawy Prawo ochrony środowiska (t.j. Dz.U. z 2020 r., poz. 1219, 1378, 1565, 2127, 2338, z 2021 r. poz. 802, 868, 1047, 1162, 1535.), pomiary PEM w lokalach mieszkalnych i użytkowych zlokalizowanych w obszarze pomiarowym badanej stacji bazowej nie zostały przeprowadzone.

Wykorzystanie w obszarze regulowanym: Tak

Przedmiot badań

Identyfikator stacji w UKE	NYS7502
Operator	P4 Sp. z o.o.
Współrzędne	17,5684360; 50,5360000
Rodzaj pracy	ciągła
Rodzaj wytwarzanego pola	stacjonarne

Miejsce badań

Otoczenie stacji bazowej NYS7502 w lokalizacji Łambinowice, dz. nr 449/20.

Cel badań

1. Zweryfikowanie zgodności z wymaganiami rozporządzenia Ministra Zdrowia z dnia 19 grudnia 2019 r.

Opis stacji bazowych

Tabela 1: Opis anten badanych stacji bazowych

Lp.	Identyfikator stacji w UKE	Typ Producent anteny	Azymut	H	EIRP	Pasmo	Tilt	Tilt w trakcie pomiarów
			[°]	[m]	[W]	[MHz]	[°]	[°]
1	NYS7502	A794516R0 Huawei	30	53,00	2512*	UMTS 900	0,0 - 12,0	6,0
2		A264518R0v01 Huawei	30	53,30	5768*	LTE 1800	0,0 - 12,0	6,0
3		A264518R0v01 Huawei	30	53,30	6577*	LTE 2100	0,0 - 12,0	6,0
4		A794516R0 Huawei	30	53,00	2958*	LTE 800	0,0 - 12,0	6,0
5		ADU4518R6v06 Huawei	30	53,30	9932*	LTE 2600 LTE 2600	0,0 - 12,0 0,0 - 12,0	6,0 6,0
6		A794516R0 Huawei	140	53,00	2512*	UMTS 900	0,0 - 12,0	6,0
7		A794516R0 Huawei	140	53,00	2958*	LTE 800	0,0 - 12,0	6,0
8		A264518R0v01 Huawei	140	53,30	5768*	LTE 1800	0,0 - 12,0	6,0
9		A264518R0v01 Huawei	140	53,30	6577*	LTE 2100	0,0 - 12,0	6,0
10		ADU4518R6v06 Huawei	140	53,30	9932*	LTE 2600 LTE 2600	0,0 - 12,0 0,0 - 12,0	6,0 6,0
11		A794516R0 Huawei	260	53,00	2512*	UMTS 900	0,0 - 12,0	6,0
12		A794516R0 Huawei	260	53,00	2958*	LTE 800	0,0 - 12,0	6,0
13		A264518R0v01 Huawei	260	53,30	5768*	LTE 1800	0,0 - 12,0	6,0
14		A264518R0v01 Huawei	260	53,30	6577*	LTE 2100	0,0 - 12,0	6,0
15		ADU4518R6v06 Huawei	260	53,30	9932*	LTE 2600 LTE 2600	0,0 - 12,0 0,0 - 12,0	6,0 6,0

* moc EIRP łączna dla wszystkich częstotliwości anteny

Warunki pomiarów

Pomiary w wyznaczonych punktach wykonano w następujących warunkach:

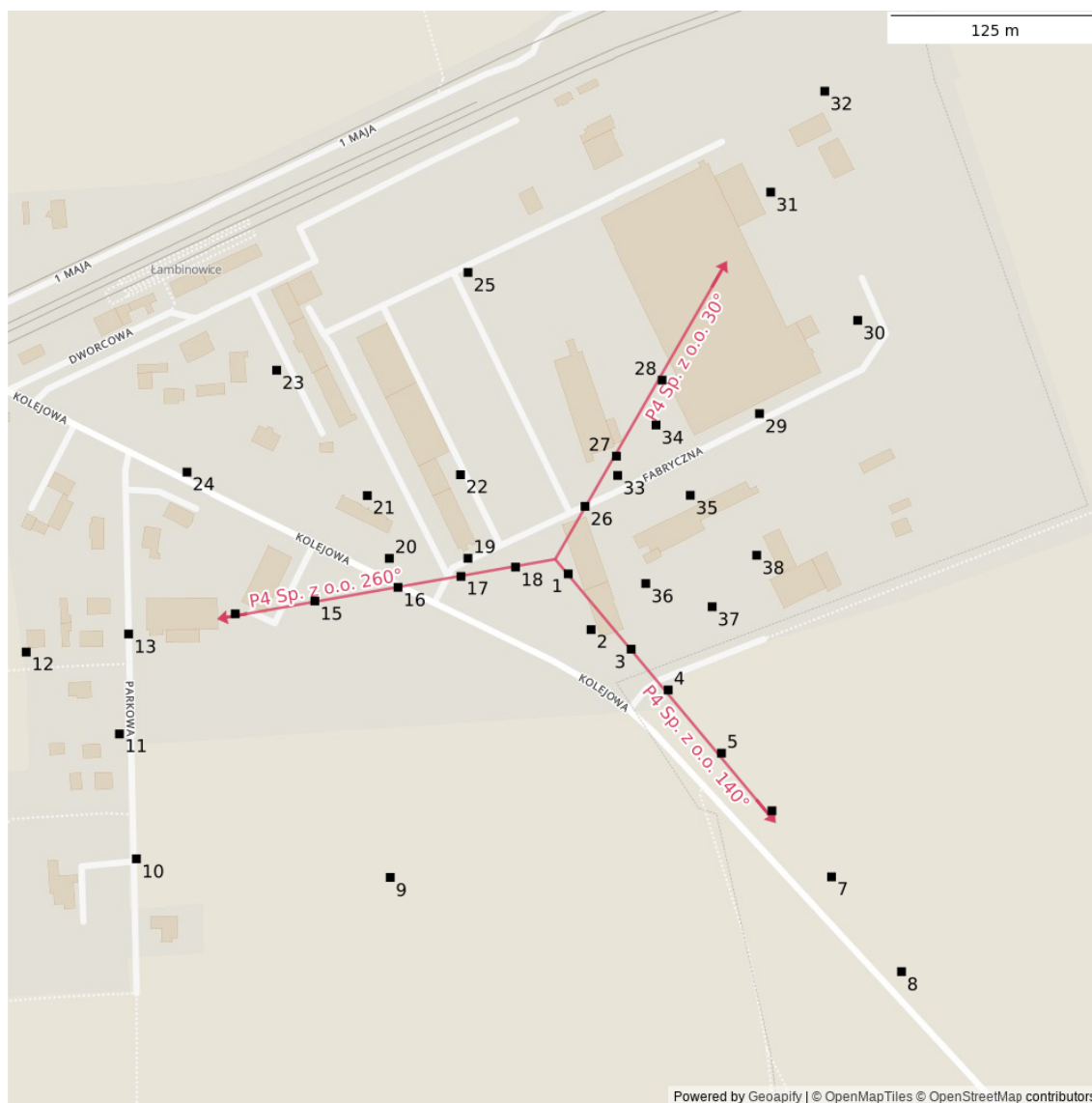
17.07.2023 12:30-13:10			
Warunki środowiskowe	Temperatura [°C]	Wilgotność [%]	Opady
Minimalna	20,3	58,3	brak
Maksymalna	20,5	58,8	

Aparatura

Tabela 2: Aparatura

MIERNIKI I SONDY					
Lp.	Typ / Nazwa	Model	Producent	Próg detekcji	Świadectwo wzorcowania
1a	miernik	NBM- 520	Narda		LWiMP/W/087/22 z dn. 19.05.2022 wydane przez Laboratorium Wzorców i Metrologii Pola Elektromagnetycznego Instytutu Telekomunikacji, Teleinformatyki i Akustyki Politechniki Wrocławskiej
1b	sonda	EF-9091	Narda	1,00	
2a	miernik	NBM- 520	Narda		LWiMP/W/381/22 z dn. 28.11.2022 wydane przez Laboratorium Wzorców i Metrologii Pola Elektromagnetycznego Instytutu Telekomunikacji, Teleinformatyki i Akustyki Politechniki Wrocławskiej
2b	sonda	EF-0691	Narda	1,00	
POZOSTAŁE					
Lp.	Typ / Nazwa	Model	Producent	Świadectwo wzorcowania	
3	termohigrometr	ETI 600 224-600	Mera	LPTW/327/2022 z dn. 10.05.2022 wydane przez Sieć Badawcza Łukasiewicz – Przemysłowy Instytut Automatyki i Pomiarów PIAP	

Lokalizacje pionów pomiarowych



Rysunek 1: Plan terenu

Wyniki pomiarów szerokopasmowych

Tabela 3: Zestawienie lokalizacji pionów pomiarowych oraz wyników pomiarów natężenia pola elektrycznego, pomiary szerokopasmowe

Nazwa	Data	Współrzędne geograficzne	E	WM _E	H	WM _H
		[°]	[$\frac{V}{m}$]		[$\frac{A}{m}$]	
1	17.07.2023	17,5685459 50,5359211	1,70	0,061	0,005	0,062
2	17.07.2023	17,5687399 50,5356212	1,49	0,053	0,004	0,054
3	17.07.2023	17,5690795 50,5355160	1,65	0,059	0,004	0,060

Ciąg dalszy na następnej stronie

Tabela 3: Zestawienie lokalizacji pionów pomiarowych oraz wyników pomiarów natężenia pola elektrycznego, pomiary szerokopasmowe (c.d.)

Nazwa	Data	Współrzędne geograficzne	E	WM _E	H	WM _H
		[°]	[$\frac{V}{m}$]		[$\frac{A}{m}$]	
4	17.07.2023	17,5693932 50,5352962	1,45	0,052	0,004	0,053
5	17.07.2023	17,5698443 50,5349561	1,32	0,047	0,004	0,048
6	17.07.2023	17,5702717 50,5346460	1,35	0,048	0,004	0,049
7	17.07.2023	17,5707771 50,5342901	1,28	0,046	0,003	0,047
8	17.07.2023	17,5713696 50,5337802	< 1,22	< 0,044	< 0,003	< 0,044
9	17.07.2023	17,5670382 50,5342871	< 1,22	< 0,044	< 0,003	< 0,044
10	17.07.2023	17,5648880 50,5343872	< 1,22	< 0,044	< 0,003	< 0,044
11	17.07.2023	17,5647438 50,5350596	< 1,22	< 0,044	< 0,003	< 0,044
12	17.07.2023	17,5639545 50,5355003	< 1,22	< 0,044	< 0,003	< 0,044
13	17.07.2023	17,5648220 50,5355974	< 1,22	< 0,044	< 0,003	< 0,044
14	17.07.2023	17,5657254 50,5357063	1,36	0,049	0,004	0,049
15	17.07.2023	17,5663993 50,5357751	1,28	0,046	0,003	0,047
16	17.07.2023	17,5671040 50,5358489	1,43	0,051	0,004	0,052
17	17.07.2023	17,5676379 50,5359075	1,46	0,052	0,004	0,053
18	17.07.2023	17,5680997 50,5359577	1,49	0,053	0,004	0,054
19	17.07.2023	17,5676968 50,5360049	1,36	0,049	0,004	0,049
20	17.07.2023	17,5670307 50,5360046	1,41	0,050	0,004	0,051
21	17.07.2023	17,5668439 50,5363425	1,32	0,047	0,004	0,048
22	17.07.2023	17,5676334 50,5364549	< 1,22	< 0,044	< 0,003	< 0,044
23	17.07.2023	17,5660762 50,5370175	< 1,22	< 0,044	< 0,003	< 0,044
24	17.07.2023	17,5653168 50,5364689	1,24	0,044	0,003	0,045

ciąg dalszy na następnej stronie

Tabela 3: Zestawienie lokalizacji pionów pomiarowych oraz wyników pomiarów natężenia pola elektrycznego, pomiary szerokopasmowe (c.d.)

Nazwa	Data	Współrzędne geograficzne	E	WM _E	H	WM _H
		[°]	[$\frac{V}{m}$]		[$\frac{A}{m}$]	
25	17.07.2023	17,5676972 50,5375438	< 1,22	< 0,044	< 0,003	< 0,044
26	17.07.2023	17,5686885 50,5362846	1,46	0,052	0,004	0,053
27	17.07.2023	17,5689542 50,5365547	< 1,22	< 0,044	< 0,003	< 0,044
28	17.07.2023	17,5693416 50,5369642	1,49	0,053	0,004	0,054
29	17.07.2023	17,5701668 50,5367834	< 1,22	< 0,044	< 0,003	< 0,044
30	17.07.2023	17,5709983 50,5372858	< 1,22	< 0,044	< 0,003	< 0,044
31	17.07.2023	17,5702614 50,5379760	< 1,22	< 0,044	< 0,003	< 0,044
32	17.07.2023	17,5707194 50,5385192	< 1,22	< 0,044	< 0,003	< 0,044
33	17.07.2023	17,5689648 50,5364511	< 1,22	< 0,044	< 0,003	< 0,044
34	17.07.2023	17,5692901 50,5367225	1,36	0,049	0,004	0,049
35	17.07.2023	17,5695804 50,5363443	< 1,22	< 0,044	< 0,003	< 0,044
36	17.07.2023	17,5692029 50,5358692	< 1,22	< 0,044	< 0,003	< 0,044
37	17.07.2023	17,5697659 50,5357443	1,32	0,047	0,004	0,048
38	17.07.2023	17,5701427 50,5360215	< 1,22	< 0,044	< 0,003	< 0,044

Podsumowanie

Na podstawie wyników pomiarów pola elektromagnetycznego przedstawionych w niniejszym raporcie o nr OS/0238/23 opracowanym przez EKO-Connect Sp. z o. o. stwierdza się, że w otoczeniu stacji bazowej NYS7502 dopuszczalne poziomy pól elektromagnetycznych w środowisku, określone w przepisach wydanych na podstawie art. 122 ust. 1 ustawy z dnia 27 kwietnia 2001 r. – Prawo ochrony środowiska uznaje się za **dotrzymane**. Udokumentowano, że w żadnym pionie pomiarowym wartości wskaźnikowe WM_E oraz WM_H nie przekroczyły 1.

Osoby odpowiedzialne

Wykonanie pomiarów: b.d.

Opracowanie sprawozdania: b.d.

Autoryzacja sprawozdania: Wojciech Lubiński (Kierownik ds. Jakości)